# Висмут-теллуровая минерализация золоторудного проявления Болотистый (Западный Сихотэ-Алинь, ДВ России)

# Лотина A.A. (anylotina@hotmail.com)

# Дальневосточный геологический институт ДВО РАН

#### Введение

Висмут-теллуровая минерализация широко представлена на многих золоторудных месторождениях различных генетических типов. Она известна на Урале (Кочкарское [11, 12], Натальевское [1]), Забайкалье (Дарасун, Березняковское [14, 19]), Северо-Востоке: Эргелях, Лево-Дыбинском, Тугучак, Неннели, Басагуньинском и Аркачан [2, 3]. Подобный тип минерализации известен в Австралии: месторождения Тимбара, Калгури [22]; Канаде: — Омай, Даблин Галч, Ред-Монтбрей [21, 26]; США: — Шотгун, Форт-Нокс, Крипл-Крик [17, 18, 23]; Испании: — Ортоса [20]; Средней Азии: — Кочбулак, Бургунда [2, 7, 9].

Ві-Те минерализация широко проявлена и на золоторудных объектах Дальнего Востока, которые сосредоточены в его южной части (Криничное, Аскольд, Путятинское [4]). В конце прошлого столетия было открыто рудно-россыпное поле Болотистое, расположенное значительнее севернее отмеченных месторождений и являющееся, на основе полученных автором данных, во многом, своеобразным.

Характерной и довольно необычной особенностью этого объекта является преобладание золота средней и крупной размерности, а также самородков весом до 10 г, составляющих 3-7 % веса россыпного золота [12]. Несмотря на то, что рудопроявление относится к золото-кварцевой формации в составе висмуттеллуровых минералов автором выявлены заметные примеси селена и свинца, что сближает изученный объект с аналогами из вулканических комплексов. В шлихах из россыпей В.В. Ивановым установлены минералы платиновой группы [5].

Первые сведения о наличии шлихового самородного золота на данном объекте были получены А.И. Поповым в 1953 г. Впоследствии данные о строении и составе россыпей были существенно дополнены рядом других геологов – И.А.

Плотниковым, (1972 г.), В.А. Дымовичем, (1979 г.), В.Ф. Погадаевым, (1981 г.) и др. Характеристики россыпного и коренного золота, геолого-структурные особенности и некоторые вопросы минералогии руднороссыпного участка Болотистого приведены в краткой форме в работах В.М. Степаненко и др. (2001), В.В. Иванова и др. (2002) и Л.Б. Сушкина (2007).

В данной работе впервые приводятся результаты детальных исследований висмут-теллуровой минерализации коренных и связанных с ними россыпных проявлений золотоносного участка Болотистый.

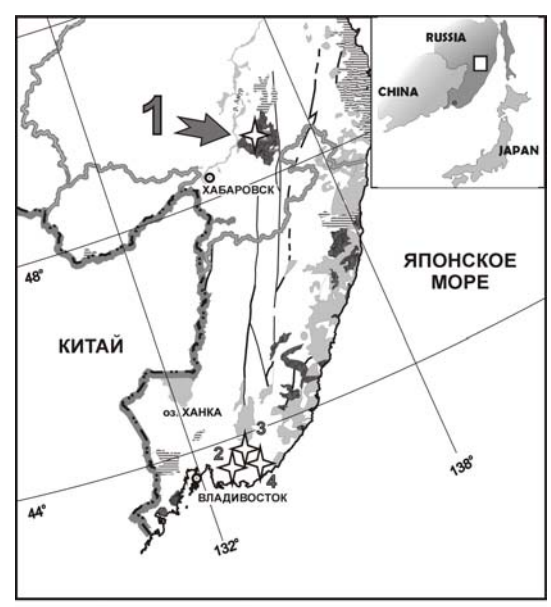


Рис. 1. Схема расположения золоторудных объектов с висмут-теллуровой

## Краткая геологическая характеристика района исследований

Объект исследований расположен в зоне сочленения Самаркинского и Журавлевского террейнов бассейна р. Хор, Хабаровский край (рис. 1). Наиболее древними образованиями района являются верхнетриасовые толщи (В.А. Дымович, 1979 г.) кремнистых пород с горизонтами кремнисто-глинистых и редко углисто-глинистых сланцев, алевролитов и песчаников. На них несогласно залегают нижнемеловые отложения алевролитов и песчаников. Терригенные осадки выше по разрезу перекрыты эоценовыми базальтоидами кузнецовской свиты, олигоценовой толщей рыхлых отложений галечников, суглинков и супесей (бирофельдская свита) и миоценовыми базальтами кизинской свиты.

Интрузивные образования представлены субвулканическими телами габбро и габбро-диоритов, а также маломощными дайками позднемеловых гранодиоритов и гранитов.

Разрывные тектонические нарушения выражены зонами интенсивной трещиноватости (более 50 м) северо-западного и субмеридионального простирания. Все мезозойские породы "эрозионного окна", включая габброиды, подверглись интенсивной гидротермальной переработке: пропилитизации, серицитизации, аргиллизации, турмалинизации, карбонатизации, а также ороговикованию.

# Геологическое строение рудно-россыпного поля Болотистого

Рудопроявление Болотистое локализовано в «эрозионном окне»

нижнемеловых песчаников среди миоценовых базальтов 2). Оно (рис. представлено штокверковой зоной кварцевых и турмалинкварцевых (иногда сульфидами) прожилков, сосредоточенных преимущественно массиве габбро, габбродиоритов и диабазов шириной от 120 до 180 м и протяженностью более 800 м. Рудные прожилки имеют северо-западное, субмеридиональное, реже северо-восточное или субширотное простирание. мощность варьирует от нитевидных до 3 см, редко достигая 20 см. Протяженность сгущений прожилков 10-15 составляет реже до 30-40 м. В

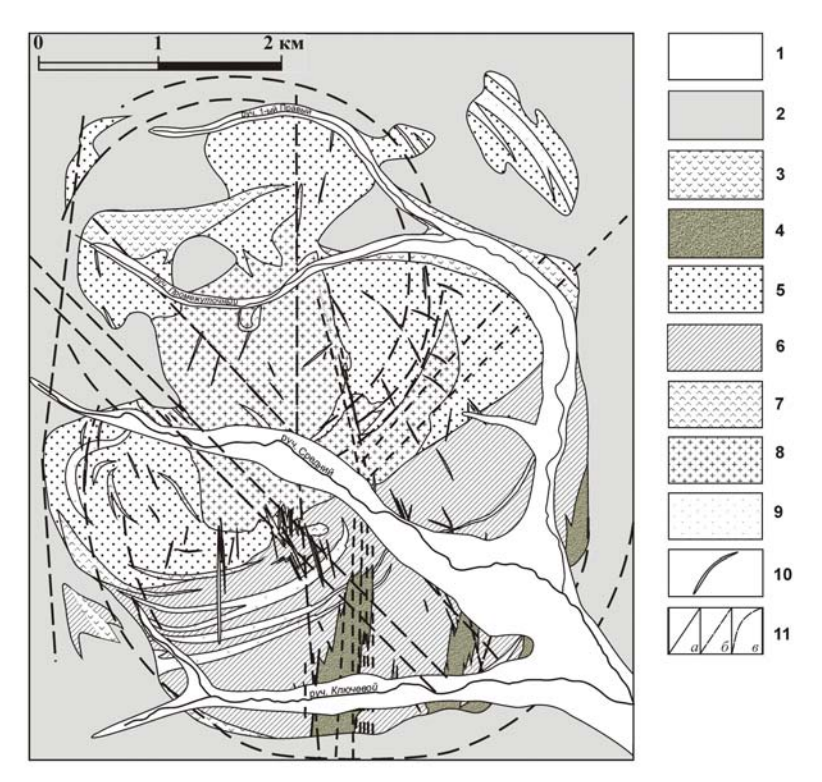


Рис. 2. Схематическая геологическая карта Болотистого рудно-россыпного поля [по Сушкину Л.Б., 2007]

1 — четвертичные отложения; 2 — миоцен, кизинская свита — базальты; 3 — эоцен, кузнецовская свита — андезиты и андезито -базальты; 4 — Палеоген — щебнисто-глинистые отложения; 5 — мел, валанжинский ярус — песчаники, реже алевролиты, линзы гравелитов, седиментационных брек чий, конгломератов, туфов андезитов; 6 — мел, берриасс — алевролиты, аргиллиты, песчаники, андезиты и их туфы, линзы гравелитов.

Эоценовый субвулканический комплекс: 7 – дациты; 8 – габбро-диориты; 9 – габбро-диоритовые порфириты; 10 – дайки основного и среднего состава; 11 – разрывные нарушения: (а) установленные. (б) предполагаемые. (в) кольцевые.

кварцевой массе отмечаются вкрапленники и гнезда теллуридов висмута, золота, пирита, арсенопирита, халькопирита, пирротина, сфалерита и галенита. Турмалин-кварцевые руды имеют брекчиевидную и сложно-полосчатую текстуру.

Концентрации золота установлены в кварц-турмалиновых метасоматитах, окварцованных и лимонитизированных кварцевых диоритах, иногда в песчаниках. Содержания золота обычно не превышают первых  $\Gamma/T$ , но в отдельных штуфных пробах достигают нескольких десятков  $\Gamma/T$ .

Речная сеть, дренирующая рудопроявление, золотоносна и состоит из нескольких сопряженных друг с другом ручьев. Выделяются россыпи ближнего (ручьи Средний, Промежуточный, Ключевой) и дальнего сносов (ручьи Встречный и Болотистый). Наиболее богатая россыпь (длина 2.6 км) приурочена к долине руч. Среднего, который размывает центральную часть рудного поля Болотистого. Протяженность ручья около 5 км. Менее богата россыпь руч. Ключевого, протяженность ее составляет более 1.5 км. Мощность золотоносного пласта варьирует от 0.8 до 3.2 м при глубине залегания от 0.8 до 5.0 м [12]. Плотик россыпей сложен терригенными образованиями, которые прорываются дайками диабазов и габбродиоритов. Рыхлые отложения представлены слабо окатанными галечно-гравийными отложениями с незначительной долей валунов в их верхних частях.

#### Методика исследований

Поскольку большинство рудных минералов имеет размерность менее 0.5 мм их выделение производилось из серых шлихов и измельченных проб методом просеивания с дальнейшим разделением на магнитную и немагнитную фракции. Отбор минералов и их первичная диагностика выполнена с помощью оптического микроскопа. Фазовый многокомпонентных срастаний висмут-теллуровых минералов идентификация выполнялась на дифрактометре ДРОН-3 (ЛОМО, Россия). Химический состав минералов определялся на микроанализаторе ЈХА-8100 (Jeol, Япония). В качестве эталонов использовались неоднократно апробированные природные минералы и исскуственные соединения. Изучение морфологии зерен теллуридов висмута, золота новообразований на поверхности кристаллов выполнено с применением сканирующих электронных микроскопов EVO 50 XVP (Zeiss, Германия) с энергодисперсионным анализатором JSM-6490 LV (Jeol, Япония). Инфракрасные спектры сняты на Фурье-спектрометре Nicolet 6700 (Thermo, США). Элементыпримеси в сульфидах (пирите, арсенопирите и халькопирите) определялись с помощью методов атомно-эмисионной спектроскопии.

# Минералогия

Нерудные минералы прожилков штокверковой зоны представлены преимущественно кварцем и турмалином. **Кварцевый агрегат** сложен изометричными, шестоватыми, удлиненными и реже ксеноморфными зернами размером от 0.1 до 0.8 мм, характеризующимися волнистым, реже ступенчатым погасанием. Иногда наблюдаются прожилки более позднего мелкозернистого кварца, содержащего микрочешуйчатый серицит.

Турмалин отмечается в виде гнезд и призальбандовых оторочек в кварцевых прожилках и в околорудных метасоматитах и вмещающих породах. По данным инфракрасной спектроскопии, он относится к дравиту и представлен призматическими, шестигранными и изометричными кристаллами от 1.0 до 0.8 мм. Минерал характеризуется зональным строением кристаллов с плеохроизмом от розовато – фиолетового до почти непрозрачного буро-синего цвета.

Pyдные минералы из жил и россыпей представлены пиритом, арсенопиритом, пирротином, халькопиритом, сфалеритом, галенитом, теллуридами висмута, золотом и минералами ЭПГ.

**Пирит** формирует мелкие сгустковые выделения, маломощные короткие прожилки во вмещающих породах, в кварцевых прожилках образует вкрапленность кубических кристаллов размером 1-4 мм. В прожилках пирит чаще всего встречается совместно с арсенопиритом, халькопиритом и пирротином. Замещается марказитом и лимонитом.

**Арсенопирит** формирует вкрапленность и мономинеральные скопления в кварцевых прожилках в виде удлиненно-призматических и уплощенно-ромбических кристаллов, имеющих размеры 1-2 мм. Минерал местами раздроблен и в основном цементируется халькопиритом.

**Пирротин** присутствует в виде аллотриоморфнозернистых выделений в турмалин-кварцевых прожилках. Размер зерен 1-3 мм. Он наблюдается в срастании с пиритом и арсенопиритом.

**Халькопирит** отмечен в виде аллотриоморфнозернистых скоплений. Размер зерен колеблется от 1 до 3 мм. Он зачастую цементирует раздробленные кристаллы пирита и арсенопирита, выполняя в них микропрожилки.

**Сфалерит** устанавливается в сростках, микропрожилках и в виде эмульсионных выделений (до 10-30 %) в халькопирите и пирротине. Размер зерен 1-2 мм.

Спектральным анализом в сульфидах определены следующие элементыпримеси: золото, серебро, кобальт, никель, хром, сурьма, свинец, цинк, олово, медь, селен и висмут (25-29 г/т). Из перечисленных элементов определенный интерес представляют лишь золото и серебро. В пирите золото содержится в пределах от 6 до 39 г/т, серебра от 0.7 до 49 г/т. Установлено, что пирит россыпей обогащен золотом в сравнении с таковым из жил. По сравнению с пиритом арсенопирит богаче золотом. Примесь золота в нем колеблется от 12 до 30 г/т, серебра от 1 до 4 г/т. В отличие от пирита и халькопирита арсенопирит более обогащен серебром (от 200 до 230 г/т), чем золотом  $(1-6 \, \Gamma/T)$ .

**Золото** имеет комковидные, изометричные, удлиненные и уплощенные формы зерен, реже отмечаются октаэдрические кристаллы и гемиидиоморфные выделения. Размер зерен варьирует от 1 до 2 мм. Характерный цвет золота меняется от интенсивно желтого до светло-желтоватого с пробностью в диапазоне от 923 до 974 %<sub>0</sub>. К типоморфным элементам-примесям золота относятся Bi, Te, Cu, Pb, As, Sb и Hg. Кроме того, в золоте зафиксирована примесь Pd (1.1-20 г/т).

По данным В.В. Иванова [5] в россыпях уч. Болотистого были установлены **платиноиды**, которые представлены средними членами изоморфного ряда лауритэрликманит. Зерна октаэдрической и кубической формы стально-серого цвета размерами их от 0.5 до 1 мм. Содержание иридия варьирует от 1.19 до 11.92 мас.%. Минералы ЭПГ не отмечены в срастании с висмут-теллуровыми минералами, хотя и являются спутниками золота в россыпях уч. Болотистого.

**Висмут-теллуровые минералы**, наблюдаемые в тесном срастании с золотом в кварцевых прожилках и россыпях, на основании проведенных исследований относятся к теллуровисмутиту, тетрадимиту и самородному висмуту. Они образуют крупные листоватые выделения (до 1 см) в самородном золоте и черные агрегативно-порошковатые рубашки вокруг него.

выделений,

## Теллуровисмутит установлен как в рудных прожилках, так и в россыпях. В исследованных образцах он находится в Таблица 1

виде

Рентгенограмма теллуровисмутита

	азец	Эталон			
ооризец		ASTM 15-863			
d/n	I	d/n	I		
10.16	4	10.16	4		
5.08	8	5.08	8		
3.76	4	3.78	4		
3.38	1	3.39	1		
3.21	100	3.22	100		
2.68	2	2.69	2		
2.37	25	2.38	25		
2.23	4	2.24	4		
2.19	25	2.19	25		
2.03	6	2.03	6		
1.99	2	1.99	2		
1.81	8	1.81	8		
1.70	2	1.70	2		

Таблица 2 Химический состав теллуровисмутита

пластинчатых

			• •	•
№ анализа	Bi	Те	Сумма	Формулы
1	53.16	47.51	100.67	Bi <sub>2.03</sub> Te <sub>2.97</sub>
2	51.92	48.99	100.91	$\mathrm{Bi}_{1.96}\mathrm{Te}_{3.04}$
3	52.82	48.33	101.15	$\mathrm{Bi}_{2.00}\mathrm{Te}_{3.00}$

Размеры размещенных среди кварца. выделений ot1 до 5 MM. Минерал серебристо-серого цвета, непрозрачный с блеском сильным металлическим плоскостях спайности. В отраженном свете минерал белого цвета. Он обладает высокой отражательной способностью, отчетливой анизотропией и отсутствием двуотражения. Наблюдается хорошо проявленная продольная (0001),спайность характерная ДЛЯ ЭТОГО минерала.

Установлено, что основные пики рентгенограммы исследуемого минерала и эталона теллуровисмутита совпадают (табл.

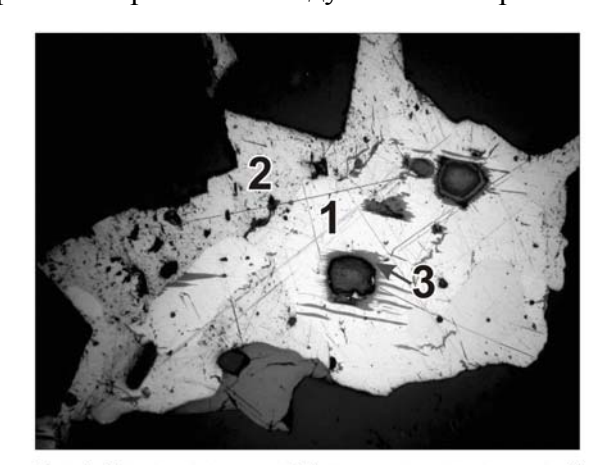


Рис. 3. Каемка тетрадимите (2) вокруг теллуровисмутита (1). По теллуровисмутиту развиваются вторичные минералы. Зерно из кварцевого прожилка. Увел. 100х. Аншлиф.

1). Теллуровисмутит обычно наблюдается в срастании с тетрадимитом, золотом (рис. 3) и иногда сечется тонкими прожилками последнего. Химический состав

Рентгенограмма тетрадимита

Таблица 3

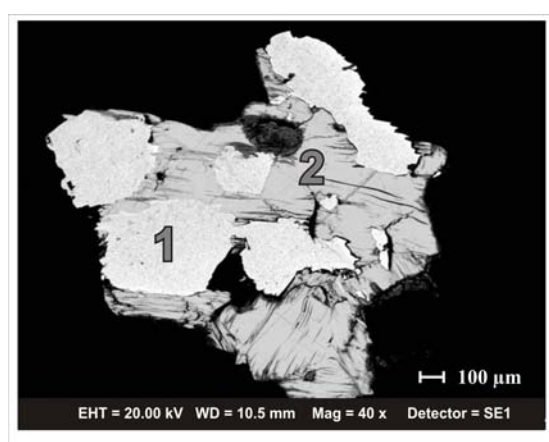
Образец		Эталон		
		ASTM 42-1447		
d/n	I	d/n	I	
9.83	10	9.87	2	
4.93	30	4.93	10	
3.63	30	3.64	20	
3.28	10	3.29	10	
3.11	100	3.12	10	
2.78	30	2.77	5	
2.60	30	2.61	5	
2.46	30	2.47	1	
2.30	100	2.30	20	
2.16	10	2.17	5	
2.12	50	2.12	40	
1.97	10	1.97	2	
1.93	10	1.95	10	
1.84	30	1.83	3	
1.75	30	1.75	20	

теллуровисмутита приведен в табл. 2.

Тетрадимит установлен в штуфных пробах. Макроскопически шлиховых минерал обладает серовато-стальным цветом с сильным металлическим блеском и хорошей спайностью (0001). В отраженном свете белый со слабым нежнокремовым оттенком с высокой отражательной способностью, слабыми анизотропией двуотражением. Форма его зерен листоватая, таблитчатая или удлиненная, размеры от 2 до 4 мм. кварцевых прожилках тетрадимит образует вкрапленные выделения и скопления. Он отмечен в

срастании с золотом (рис. 3, 4) и теллуровисмутитом, иногда образуя каемки вокруг последнего. Подобное обрастание теллуровисмутита тетрадимитом, вероятно, свидетельствует о возрастании фугитивности серы на заключительных стадиях минералообразования.

Основные пики рентгенограммы исследуемого минерала и эталона тетрадимита совпадают (табл. 3). Тетрадимит в россыпях отмечен в виде редких "сажистых" порошковатых рубашек



**Рис. 4.** Срастание золота (1) с тетрадимитом (2). Увел. 40х. Аншлиф.

образует вкрапленные выделения И скопления. Макроскопически минерал обладает серовато-стальным цветом с металлическим блеском, хорошей спайностью (0001) и 2.5-3.0. твердостью отраженном свете кремоваторозовый характеризуется высокой отражательной

Таблица 4 Химический состав тетрадимита

№ анализа	Bi	Те	Se	s	Сумма	Формулы
1	62.03	34.82	0.89	4.48	102.20	Bi <sub>2.06</sub> (Te <sub>1.89</sub> Se <sub>0.08</sub> )S <sub>0.97</sub>
2	60.87	34.60	0.91	4.05	100.40	Bi <sub>2.08</sub> (Te <sub>1.94</sub> Se <sub>0.08</sub> )S <sub>0.90</sub>
3	61.56	34.24	0.46	4.26	100.50	Bi <sub>2.10</sub> (Te <sub>1.91</sub> Se <sub>0.04</sub> )S <sub>0.95</sub>
4	60.91	34.00	1.26	4.39	100.57	Bi <sub>2.05</sub> (Te <sub>1.87</sub> Se <sub>0.11</sub> )S <sub>0.96</sub>
5	61.53	35.32	1.10	4.24	102.19	Bi <sub>2.05</sub> (Te <sub>1.93</sub> Se <sub>0.10</sub> )S <sub>0.92</sub>
6	62.13	34.01	1.50	4.26	101.91	Bi <sub>2.08</sub> (Te <sub>1.86</sub> Se <sub>0.13</sub> )S <sub>0.93</sub>

вокруг зерен золота. Размеры его выделений достигают 10 мм, а состав близок тетрадимиту кварцевых прожилков коренного оруденения. В нем определена примесь селена от 0.84 до 2.65 мас. % (табл. 4).

По данным В.В. Иванова [4] тетрадимит и теллуровисмутит рудно-россыпного поля Болотистого содержат микровключения самородного висмута, а также его селенидной фазы — кавацулита (Bi<sub>2</sub>Te<sub>2</sub>Se).

**Цумоит** был обнаружен в рудных прожилках и россыпи. В кварцевых прожилках

Таблица 5 Химический состав цумоита

№ анализа	Bi	Те	Se	Pb	Сумма	Формулы
1	62.69	33.72	1.09	1.62	99.11	$(Bi_{1.02}Pb_{0.03})_{1.05}(Te_{0.90}Se_{0.05})_{0.95}$
2	62.44	34.59	1.12	0.58	98.73	$(Bi_{1.02}Pb_{0.01})_{1.03}(Te_{0.92}Se_{0.05})_{0.97}$
3	61.90	33.87	2.08	0.68	98.53	(Bi <sub>1.00</sub> Pb <sub>0.01</sub> ) <sub>1.01</sub> (Te <sub>0.90</sub> Se <sub>0.09</sub> ) <sub>0.99</sub>
4	60.90	34.97	1.18	1.78	98.83	(Bi <sub>0.99</sub> Pb <sub>0.03</sub> ) <sub>1.02</sub> (Te <sub>0.99</sub> Se <sub>0.05</sub> ) <sub>0.98</sub>
5	61.66	34.43	1.55	1.56	99.19	(Bi <sub>1.00</sub> Pb <sub>0.03</sub> ) <sub>1.03</sub> (Te <sub>0.9</sub> Se <sub>0.07</sub> ) <sub>0.97</sub>
6	61.81	34.21	1.62	1.72	99.35	(Bi <sub>1.00</sub> Pb <sub>0.03</sub> ) <sub>1.03</sub> (Te <sub>0.9</sub> Se <sub>0.07</sub> ) <sub>0.97</sub>

способностью. Он отмечается в срастании с самородным золотом, тетрадимитом и теллуровисмутитом, размеры его выделений от 0.01 до 0.8 мм. В нем определены примеси селена от 1.09 до 2.08 мас. % и свинца от 0.58 до 1.78 мас. % (табл. 5).

Самородный висмут в исследованных образцах находится в виде вкрапленных выделений округлой и удлиненной формы. Размеры выделений колеблются от 0.5 до 1 мм. Минерал серебристо-серого цвета, с сильным металлическим блеском. Иногда отмечается спайность по 0001. В отраженном свете минерал имеет светло белый цвет с кремовым оттенком. Обладает высокой отражательной способностью и отчетливой анизотропией, и образует срастания с галенитом и золотом.

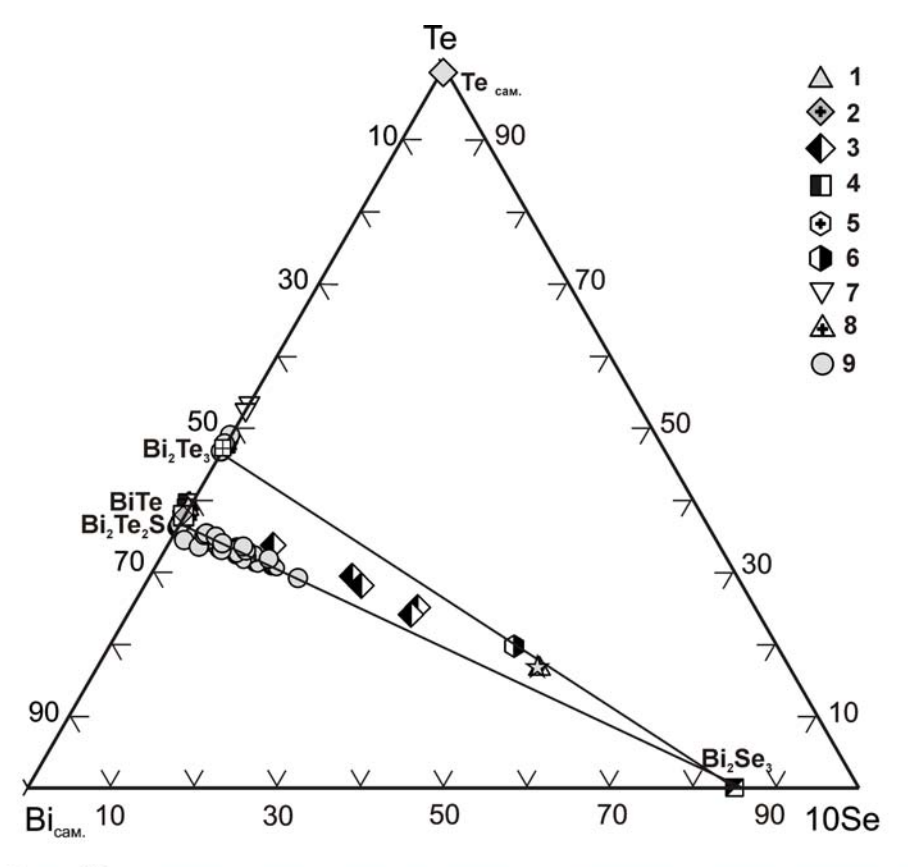
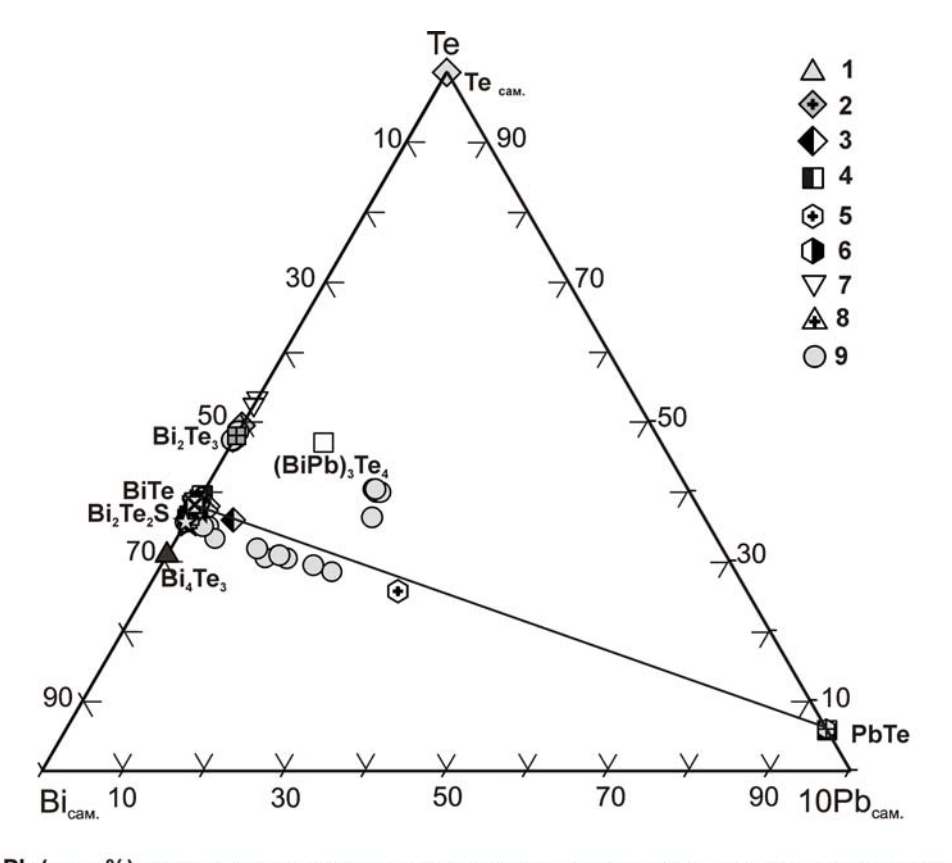


Рис. 6. Bi-Te-Se (мас. %) диаграмма для висмут-теллуровых минералов золотосодержащих объектов 1 - Восточно-Сергеевское рудопроявление (Среднее Приднепровье), [16]; 2 - Эргелях (Северо-Восток России), [3]; 3 - Портовело-Зарума (Эквадор), [30]; 4 - Новы Книн (Чехия)[29]; 5 - Дарасунское (Восточное Забайкалье), [20]; 6 - Прасоловское (о. Кунашир), [8]; 7 - Джугаджак (Магаданская обл.), [21]; 8 - Кавацулит; 9 - Болотистое.



**Рис. 7. Ві-Те-Рь (мас. %) диаграмма для висмут-теллуровых минералов золотосодержащих объектов** Условные обозначения те же, что и на рис. 6.

Особенности состава Bi-Te минералов рудопроявления наглядно отражаются на диаграммах Bi-Te-Se (рис. 6) и Bi-Te-Pb (рис. 7). На диаграмме Bi-Te-Se минералы

Болотистого образуют единый тренд ряда тетрадимит-гуанахуатит с возрастанием Se компонента (до 7 %). Порядок кристаллизации в совокупности с геохимическими данными свидетельствует о привносе Se на заключительных стадиях формирования месторождения. Это свидетельствует о первичном магматическом источнике Se, то же следует и из анализа диаграммы Bi-Te-Pb в ряду тетрадимит-алтаит, где обогащение Pb-компонентом также достигает 7 %. Точки состава Болотистого рудопроявления совпадают с данными по золоторудным месторождениям Дарасунское, Джугаджак, Ново Книн, Портовело-Зарума и Эргелях. На продолжении указанных трендов к вершинам Se и Pb располагаются точки составов вулканогенного Прасоловского месторождения.

#### Заключение

Висмут-теллуровые минералы рудно-россыпного участка Болотистый на основе проведенных исследований относятся к теллуровисмутиту (Bi<sub>2</sub>Te<sub>3</sub>), тетрадимиту (Bi<sub>2</sub>Te<sub>2</sub>S), цумоиту (BiTe) и самородному висмуту. В рядах тетрадимит-гуанахуатит и тетрадимит-алтаит наблюдается замещение (до 7 %) тетрадимитового компонента соответственно селеновой и свинцовой составляющими, что обычно характерно для месторождений вулканогенного (Прасоловское). В связи с этим возникает проблема поиска магматического источника оруденения. Поскольку в районе рудопроявления развиты исключительно базальтоидные и габброидные комплексы, которые не могут быть таким источником, можно предполагать, что генератором оруденения послужили невскрытые эрозией тела кислого состава, дериватами которых являютс дайки дацитов. и смешанного (интрузивно-вулканогенного) типов (Дарасунское). Выявленные типоморфные особенности минеральных парагенезисов на изученном золоторудном объекте могут также иметь важное поисковое значение и использоваться в дальнейшем при изучении вопросов их генезиса.

Автор выражает благодарность В.В. Иванову и С.В. Леснову за предоставление материала и помощь в проведении полевых работ.

## Литература

- 1. Алабин Г.В., Калинин Ю.А. Металлогения золота Кузнецкого Алатау / Тр. Объединенного института геологии, геофизики и минералогии СО РАН. Новосибирск: СО РАН. НИЦ ОИГГМ, 1999. Вып. 843. 237 с.
- 2. Гамянин Г.Н., Гончаров В.И., Горячев Н.А. Золото-редкометаллъные месторождения Востока России // Тихоокеанская геология. 1998. Т. 17. № 3. С. 94-103.
- 3. Горячев Н.А., Гамянин Г.Н. Аи-редкометалльные месторождения: перспективы промышленного освоения / Аи Сибири и ДВ: геология, геохимия, технологич. экономика, экология. Улан-Удэ. 2004. С. 57-58.
- 4. Иванов В.В., Замбржицкий А.И., Молчанова Г.Б., Лотина А.А., Нарнов Г.А., Афанасьева Т.Б. Особенности минералогии золото-висмут-теллурового оруденения Сихотэ-Алиня / Современные проблемы металлогении: Материалы научной конференции посвященной 90-летию академика Х.М. Абдуллаева. Ташкент, 2002. С. 176-178.
- 5. Иванов В.В., Колесова Л.Г., Лотина А.А. Минералы платиноидов в золотых россыпях западных отрогов Сихотэ-Алиня / Структура, вещество, история литосферы Тимано-Североуральского сегмента: Материалы 16-й научной конференции. Сыктывкар, 2007. С. 110-112.

- 6. Иванов В.Н., Монахов В.С., Рязанцева Л.А., Великанов Ю.Ф., Дудник Н.Ф. Золотомолибденитовая с теллуридами ассоциация Восточно-Сергеевского рудопроявления (Среднее Приднепровье) // Минералогический журнал. 2004. Т.26. № 4. С. 78-83.
- 7. Ивенс Ю.П., Левин В.И. Генетические типы золотого оруденения и золоторудные формации / Золоторудные формации и геохимия золота Верхояно-Чукотской складчатой области. М.: Наука, 1975. С. 5-120.
- 8. Кемкина Р.А., Кемкин И.В. Вещественный состав руд и минералого-геохимическая методика оценки потенциального загрязнения окружающей среды токсичными элементами (на примере Прасоловского Au-Ag месторождения). Владивосток: Дальнаука, 2007. 212 с.
- 9. Коваленкер В.А., Бортников Н.С., Тронева Н.В. Химический состав и минеральные парагенезисы Ag-(Cu)-Pb-Bi- сульфосолей в рудах Кочбулакского месторождения // Минералогический журнал. 1984. Т. 6. № 2. С. 16-30.
- 10. Спиридонов Э.М. Минералогия метаморфизованного плутоногенного золото-кварцевого месторождения Кочкарское, Южный Урал. І. Золото-теллуридные руды // Зап. ВМО. 1995. Ч. 124. Вып. 6. С. 24-39.
- 11. Спиридонов Э.М. Минералогия метаморфизованного плутоногенного золотокварцевого месторождения Кочкарское, Южный Урал. II. Золото-галенитвисмутиновые руды // Зап. ВМО. 1996. Ч. 125. Вып. 6. С. 1-10.
- 12. Степаненко В.М., Замбржицкий А.И., Буряк В.А. Новый (Болотистый) золотоносный узел в Западно-Сихотэ-Алинском поясе показатель развития молодого (эоценового) плутоногенного золотого оруденения россыпеобразующей формации в этом поясе / Генезис месторождений золота и методы добычи благородных металлов. Материалы международной научной конференции. Благовещенск. 2001. С. 145-147.
- 13. Сушкин Л.Б. Минералого-геохимические особенности Болотистого золоторудного поля (Западный Сихотэ-Алинь) / Тектоника и металлогения Северной Циркум-Пацифики и Восточной Азии. Материалы конференции посвящ. памяти Л.М. Парфенова. Хабаровск, 2007. С. 86-87.
- 14. Тимофеевский Г.И. Геология и минералогия Дарасунского золоторудного региона. М.: Недра, 1972. 260 с.
- 15. Типоморфизм минералов и его практическое значение // М.: Недра, 1972. 247 с.
- 16. Фомина М.И. Золото-редкометалльное оруденение в экзоконтактах палеозойских интрузивов (Омолонский срединный массив) / Проблемы металлогении рудных районов Северо-Востока России. Сборник научных трудов. С. 77-92.
- 17. Cameron S. Rombach, Rainer J. Newberry. Shotgun deposit: granite porphyry-hosted goldarsenic mineralization in southwestern Alaska, USA // Miner. Deposit., 2001. P. 607-621.
- 18. Clark S.H.B., Gray K.J., Back J.M. Geology of the barite hill gold-silver deposit in the southern Carolina slate belt // Economic geology and the bulletin of the society of economic geologists. 1999. Vol. 94. Iss 8. P. 1329-1346.
- 19. Grabezhev A.I., Sazonov V.N. Murzin V.V., Moloshag V.P., Sotnikov V.I., Kuznetsov N.S., Puzhakov B.A., Pokrovskii B.G. Bereznyakovsk gold deposit (South Urals, Russia) // Geology of ore deposits. 2000. Vol 42. Iss 1. P. 33-46.
- 20. Fuertes-Fuente M., Martin-Izard A., Nieto J.G., Maldonado C., Varela A. Preliminary mineralogical and petrological study of the Ortosa Au-Bi-Te ore deposit: a reduced gold skarn in the northern part of the Rio Narcea Gold Belt, Asturias, Spain // J. of geochemical exploration. 2000. Vol. 71. Iss 2. P. 177-190.
- 21. Maloof T. L., Baker T., Thompson J. F. H. The Dublin Gulch intrusion-hosted gold deposit, Tombstone plutonic suite, Yukon Territory, Canada // Miner. Deposit. 2001. V. 36. P. 583-593.
- 22. Mustard R. Granite-hosted gold mineralization at Timbarra, northern New South Wales, Australia // Miner. Deposit. 2001. V. 36. P. 542-562.

- 977
- 23. Rombach C.S. and Neberry R.J. Genesis and mineralization of the Shotgun deposit, southwestern Alaska // Miner. Deposit. 2001. V. 36. P. 607-621.
- 24. Sejkora J., Litochleb J., Plasil J., Bures B. Tsumoite and associated tellurides from the Au deposit Libcice near Novy Knin, Czech Republic: mineralogu and genetic significance // J. of Geosciences. 2009. V. 59. P. 73-82.
- 25. Vikentyev I., Banda R., Tsepin A., Prokofiev V., Vikentyeva O. Mineralogy and formation conditions of Portovelo-Zaruma gold-sulphide vein deposit, Ecuador // Geochemistry, mineralogy and petrology. 2005. № 43. P. 148-154.
- 26. Voicu G., Bardoux M., Jebrak M. Tellurides from the Paleoproterozoic Omai gold deposit, Guiana Shield // Canad. Miner. 1999. V. 37. P. 559-573.